

بررسی آزمایشگاهی موقعیت سازه سرریز- دریچه استوانه‌ای در راستای عمود بر جریان بر روی ضریب دبی جریان

ارمغان سوری^{۱*}، محسن مسعودیان^۲، کلوس راچر^۳ و اسماعیل کردی^۴

چکیده

یکی از انواع مدل‌های سازه ترکیبی، سرریز- دریچه استوانه‌ای است که دارای ویژگی‌هایی ازجمله هزینه کم، طراحی آسان، راحتی ساخت و ضریب دبی بالا است. در این مطالعه به بررسی آزمایشگاهی موقعیت قرارگیری سازه استوانه‌ای در راستای عمود بر جریان بر روی ضریب دبی عبوری از سازه پرداخته شده است. آزمایش‌ها در فلومی به طول ۷/۵ متر و عرض ۴۰ سانتی‌متر و با استفاده از مدل‌های استوانه‌ای از جنس لوله پلاستیکی با قطرهای ۵۰، ۷۵، ۱۱۰ و ۱۲۵ میلی‌متر انجام شده است. طراحی آزمایش‌ها با میزان بازشدگی‌های مختلف از صفر تا ۶۰ میلی‌متر (رسیدن به دریچه استوانه‌ای با توجه به قطر و دبی موجود) انجام شده است. نتایج نشان داد که بیشترین و کمترین ضریب دبی بهترتبی در سازه‌های سرریز استوانه‌ای و دریچه استوانه‌ای مشاهده شده است. همچنین با تبدیل سازه از سرریز- دریچه استوانه‌ای به دریچه استوانه‌ای کاهش سریعی در مقادیر پارامترهای بدون بعد نسبت عمق آب بالادست به قطر سازه (D / y_{up}) و نسبت تفاضل عمق آب بالادست و پایین‌دست به قطر سازه ($D / y_d - y_{up}$) حاصل شده است، که این روند ناشی از کاهش میزان پس‌زدگی آب و کاهش چشمگیر y_{up} است. همچنین افزایش قطر سازه موجب کاهش ضریب دبی شده که در این رابطه برآش‌های تجربی برای به کمیت درآوردن رفتار ضریب دبی ارائه شده است.

واژه‌های کلیدی: جریان عبوری همزمان، دریچه استوانه‌ای، سرریز- دریچه استوانه‌ای، سرریز استوانه‌ای، ضریب دبی.

ارجاع: سوری ا. مسعودیان م. راچر ک. و کردی ا. ۱۳۹۴. بررسی آزمایشگاهی موقعیت سازه سرریز- دریچه استوانه‌ای در راستای عمود بر جریان بر روی ضریب دبی جریان. مجله پژوهش آب ایران. ۴۱-۳۳:۱۷.

۱- فارغ‌التحصیل کارشناسی ارشد گروه مهندسی آب، دانشگاه علوم کشاورزی و منابع طبیعی ساری.

۲- استادیار گروه مهندسی آب، دانشگاه علوم کشاورزی و منابع طبیعی ساری.

۳- استاد گروه عمران و محیط‌زیست دانشگاه اوستفالی، آلمان.

۴- عضو پیوسته ASCE و استادیار مؤسسه آموزش عالی میرداماد گرگان.

* نویسنده سمتی: armaghan.severi@gmail.com

مقدمه

بازشدگی دریچه است. همچنین نتایج مطالعات وی نشان داد که در بیشتر موردها دبی برآورد شده با معادله حاصل با انحراف کمتر از ۴ درصد، هماهنگی خوبی با داده‌های آزمایشگاهی دارد. به علاوه نتیجه گرفت که با استفاده از سازه ترکیبی می‌توان عیب‌های استفاده از سرریز و دریچه تنها را برطرف کرد. چانسون و مونتس (۱۹۹۸) با بررسی نحوه رفتار جریان در سرریزهای استوانه‌ای نتیجه گرفتند که تحبد دیواره سرریز سبب ایجاد فشار مکش در سطح سرریز شده و تیغه‌ای ریزشی ایجاد می‌کند که سبب چسبیدگی سطح آب به بدنه سرریز می‌شود. مکش در دیواره و چسبیدگی تیغه ایجاد شده سبب می‌شود تا خطوط جریان با انحنای بیشتر و جریان با سرعت بالاتری شکل گرفته و درنتیجه ضریب دبی نسبت به سرریزهای لبه‌تیز و لبه‌پهن مستطیلی افزایش یابد. فرو (۲۰۰۰) با استفاده از آنالیز ابعادی براساس تئوری π باکینگهام و مدل ISS^۳ معادله دبی-اشن را برای جریان همزمان از رو و زیر دریچه مستطیلی لبه‌پهن به دست آورد. وی در معادله استخراج شده نشان داد که $a/y \approx H_w/a$ عمق بحرانی متناظر با مقدار مشخصی دبی) با H_w/a رابطه مستقیم دارد. نجم و همکاران (۲۰۰۲) به بررسی آزمایشگاهی جریان همزمان از سازه ترکیبی سرریز-دریچه لبه‌تیز مستطیلی با فشردگی برابر در شرایط جریان آزاد پرداختند. نتایج مطالعات آنان نشان از آن بود که پارامترهای y_{up}/a و P/a دارای بیشترین اثر بر ضریب شدت جریان هستند و به علاوه رابطه ۲ را برای برآورد دبی در محدوده $5 \leq b/a \leq 5 \leq P/a \leq 40/65$ دارند. ارائه $0.47 \leq S_0/a \leq 0.5$ و $1/8 \leq y_{up}/a \leq 1/8$.

کردن.

$$\left(\frac{q_s}{\sqrt{2ga^{1.5}}} \right) = -0.3863 + 0.8764 \left(\frac{y_{up}}{a} \right) - 0.1494 \left(\frac{H_w}{a} / b \right) - 0.7341 \left(\frac{P}{a} \right) \quad (2)$$

که در آن q_s دبی کل عبوری از سازه در عرض واحد و y_{up} عمق جریان در بالادست است. همچنین نتیجه گرفتند اثر لزجت و کشش سطحی در جریان عبوری از سازه ترکیبی با میزان بازشدگی خیلی کم، $P/a < 0.15$ ، $b/a < 1$ بسیار مؤثر هستند. هایاوی و همکاران (۲۰۰۸) به بررسی جریان همزمان از سازه ترکیبی سرریز

همیشه آب جاری در مسیر کانال‌ها دارای ذرات معلق رسوب و مواد شناور بوده که فرصت تهشیینی در پشت سرریز و تجمع در ورودی دریچه را پیدا کرده و این امر علاوه بر کاهش حجم کانال در محدوده سازه سبب بروز مشکلاتی از جمله آبگیری زمین‌های اطراف به دلیل سرریز شدن آب از کناره‌های کانال، به خطر افتادن پایداری سازه و کاهش دقت اندازه‌گیری جریان می‌شود. مدل ترکیبی سرریز-دریچه می‌تواند برخی از عیب‌های کاربرد جداگانه سرریز و دریچه را برطرف کند، به طوری که مواد شناور (چوب، یخ و ...) را از روی سازه و مواد قابل تهشیین شدن (رسوبات) را از زیر سازه عبور دهد. پس مدل سرریز-دریچه در مقایسه با وسائل شرایط واقعی را به فرضیات اصلی تئوری استخراج معادله‌هایی فراهم کرده و تخمین دبی را با دقت بیشتر میسر می‌کند. مدل سرریز-دریچه استوانه‌ای یکی از انواع سازه‌های ترکیبی است که با توجه به شکل آن، مزایایی چون راحتی طراحی، عبور اجسام شناور و رسوبات، ضریب دبی بالا نسبت به سایر سازه‌های جایگزین شونده و اقتصادی بودن را دارد.

ایسرالسن و هانسن (۱۹۶۲) نشان دادند هنگامی که 75 درصد ارتفاع سرریز را رسوب پر کند، حدود 8 درصد افزایش در مقدار دبی جریان ایجاد می‌شود. نجم (۱۹۹۷) به بررسی آزمایشگاهی پارامترهای هیدرولیکی و هندسی مؤثر بر جریان همزمان از سازه ترکیبی سرریز لبه‌تیز مستطیلی روی دریچه لبه‌تیز مستطیلی فشرده پرداخت و برای برآورد دبی عبوری از سازه ترکیبی معادله 1 را در محدوده $5 \leq b/a < 30/5$ و $5 \leq P/a \leq 30/5$ با $R^2 = 0.991$ و تابع خطای استاندارد تخمین $SEE = 8/365$ استخراج کرد.

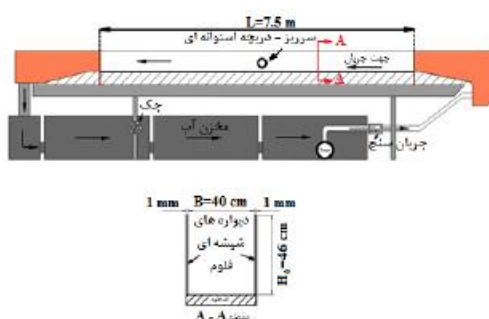
$$Q_s = 3.148 + 1.081 \left(\frac{P}{a} \right)^{0.155} \left(\frac{H_w}{a} / b \right)^{1.522} \left(\frac{H_w}{a} / b \right)^{-1} + 0.012 \left(\frac{P}{a} \right)^{2.155} \left(\frac{H_w}{a} / b \right)^{3.1505} \left(\frac{H_w}{a} / b \right)^{-2} \quad (1)$$

که در آن P ارتفاع سازه، b عرض سرریز یا دریچه، H_w ارتفاع آب روی سرریز در بالادست و a ارتفاع

می‌کند، درنتیجه ضریب دبی سازه ترکیبی نیز تغییر خواهد کرد. از جمله کاربردهای سازه استوانه‌ای با قابلیت جابه‌جایی در راستای عمود بر برای جریان می‌توان به کنترل و اندازه‌گیری هرچه دقیق‌تر جریان عبوری در شرایط مختلف کم آبی و پر آبی بر حسب مورد استفاده اشاره کرد؛ لذا در این مطالعه به بررسی آزمایشگاهی موقعیت سازه در راستای عمود بر برای جریان بر روی ضریب دبی عبوری از سازه استوانه‌ای در حالتی که در ارتفاع کanal حرکت کرده و هیدرولیک جریان از سرریز استوانه‌ای به سرریز- دریچه استوانه‌ای و درنهایت به دریچه استوانه‌ای تبدیل می‌شود، پرداخته شده است.

مواد و روش‌ها

آزمایش‌ها در کanalی با مقاطع عرضی مستطیلی و شیب‌پذیر به طول ۷/۵ متر، عرض ۴۰ سانتی‌متر، ارتفاع ۴۶ سانتی‌متر، دیواره‌هایی از جنس شیشه شفاف برای مشاهده جریان از هر دو سمت با ضخامت ۱ سانتی‌متر، بر بستر صاف و صلب و شیب کف ۰/۰۰۰۱ در آزمایشگاه هیدرولیک دانشگاه اوستفالیا انجام شد. آب در سیکل بسته، شامل اجزای نشان داده شده در شکل ۱ جاری شد.



شکل ۱ فلوم آزمایشگاهی مورد استفاده و نمونه سرریز دریچه استوانه‌ای

در آزمایش‌ها از لوله‌های پلاستیکی برای ساخت مدل‌های فیزیکی سازه‌های استوانه‌ای استفاده شد. آزمایش‌ها برای چهار قطر ۵، ۷، ۱۱ و ۱۲۵ میلی‌متر و ارتفاع بازشدگی دریچه متغیر از حالت سرریز استوانه‌ای ($a = 0\text{mm}$) و افزایش تدریجی میزان بازشدگی با گام‌های ۱۰ میلی‌متر تا رسیدن به دریچه استوانه‌ای ($H_w = 0\text{mm}$)، (با توجه به قطر و دبی موجود) انجام شده است. نسبت قطر سازه به عرض کanal محدوده $D/B < 0/4$ را پوشنش داده است. آزمایش‌ها در

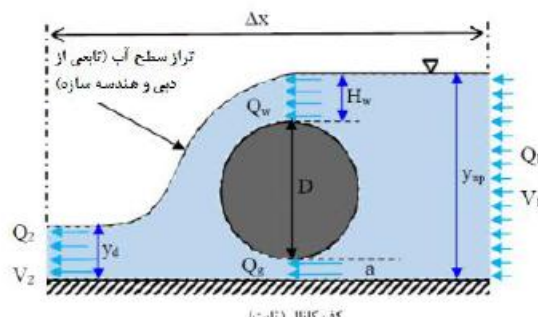
مثلثی و دریچه مستطیلی در شرایط جریان آزاد پرداختند و نتایج حاصل از مطالعات آن‌ها نشان داد که ضریب شدت جریان با افزایش پارامترهای b/H_w , b/D , H_w/a و H_w/D کاهش می‌یابد. قره‌گزلو و همکاران (۱۳۹۰) به بررسی آزمایشگاهی پارامترهای هندسی و هیدرولیکی مؤثر بر ضریب دبی سازه ترکیبی سرریز- دریچه استوانه‌ای در دبی‌های کم پرداختند. نتایج حاصل از مطالعات آنان نشان داد که دبی عبوری از مدل ترکیبی سرریز- دریچه به عامل‌های هیدرولیکی و هندسی بستگی داشته و با افزایش هد آب بالادست ضریب دبی افزایش می‌یابد. همچنین با افزایش مقدار پارامترهای H_w/a و H_w/D ضریب دبی افزایش می‌یابد. قره‌گزلو و همکاران (۱۳۹۱) به مقایسه آزمایشگاهی هیدرولیک سرریز- دریچه استوانه‌ای و نیم‌استوانه‌ای پرداختند. نتایج آزمایش‌های آنان نشان داد که در هر سه حالت مدل ترکیبی سرریز- دریچه استوانه‌ای، نیم‌استوانه‌ای با انحنا رویه بالادست و نیم‌استوانه‌ای با انحنا رویه پایین دست، با افزایش مقادیر بدون بعد y_{np}/D و y_{np}/a (قطر سازه استوانه‌ای) ضریب دبی افزایش می‌یابد و در یک y_{np}/D ثابت، ضریب دبی سرریز- دریچه استوانه‌ای به طور تقریبی برابر با ضریب دبی سرریز- دریچه نیم‌استوانه‌ای با انحنا در بالادست و بیشتر از ضریب دبی نیم‌استوانه با انحنا در پایین دست است. نتایج مطالعات آزمایشگاهی قره‌گزلو (۱۳۹۱) در بررسی اثر سرریز بر دبی دریچه، در مدل ترکیبی سرریز- دریچه استوانه‌ای نشان از آن است که جریان عبوری از زیر سرریز- دریچه استوانه‌ای تحت تأثیر میزان جریان عبوری از بخش سرریز است به طوری که با افزایش پارامترهای H_w/a و H_w/D روند ضریب دبی دریچه در هنگام استفاده با سرریز، کاهشی و در حالت استفاده بدون سرریز، افزایشی است و جریان عبوری از سرریز به دلیل ایجاد فشار مثبت و افزایش عمق آب در پایین دست سبب کاهش ۱ تا ۲۵ درصدی ضریب دبی دریچه نسبت به حالت بدون سرریز می‌شود. همچنین در یک H_w/a ثابت، با افزایش قطر سیلندر اختلاف ضریب دبی دریچه در دو حالت استفاده به تنها ی و با سرریز کاهش و در H_w/D با افزایش بازشدگی اختلاف ضریب دبی افزایش می‌یابد.

از آنجا که با جابه‌جا کردن موقعیت سازه در راستای عمودی، نسبت دبی عبوری از دریچه و سرریز تغییر

روی سرریز عبور می‌کند، معادله‌های سرریز بر آن حکم‌فرما است (شکل ۳). بنابراین:

$$Q_s = Q_w + Q_g \quad (3)$$

Q_s دبی کل عبوری از سازه ترکیبی سرریز- دریچه (m^3/s), Q_w دبی عبوری از سرریز استوانه‌ای (m^3/s) و Q_g دبی عبوری از دریچه استوانه‌ای (m^3/s) هستند (نجم و همکاران، ۲۰۰۲).



شکل ۳ سیستم کنترل ساده شده جریان عبوری از سازه ترکیبی استوانه‌ای

بوس (۱۹۷۶) معادله ۴ را برای برآورد دبی سرریزهای استوانه‌ای ارائه کرده است.

$$Q_w = C_{dw} B \frac{2}{3} \sqrt{\frac{2}{3}} g H_w^{1.5} \quad (4)$$

که در آن Q_w دبی عبوری از سرریز استوانه‌ای (m^3/s), H_w ارتفاع آب روی سرریز در بالادست (m), C_{dw} ضریب آبگذری سرریز، B عرض کanal (m) و g شتاب نقل (m/s^2) است.

معادله عمومی برآورد دبی دریچه به صورت معادله ۵ است (حسینی و ابریشمی، ۱۳۸۶).

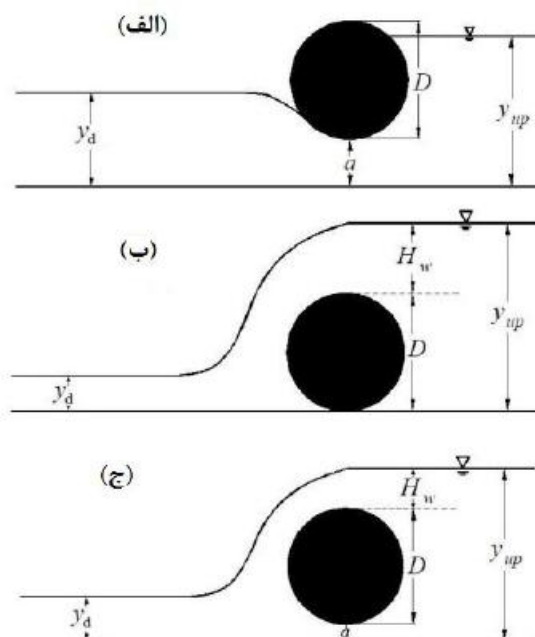
$$Q_g = C_{dg} a B \sqrt{2 g y_{up}} \quad (5)$$

در این معادله Q_g دبی عبوری از زیر دریچه (m^3/s), C_{dg} ضریب آبگذری دریچه، a ارتفاع بازشدگی دریچه (m), y_{up} عمق جریان در (m), B عرض کanal (m), g شتاب نقل (m/s^2) است.

بنابراین ضریب دبی سازه ترکیبی (C_{ds}) از معادله ۶ به دست می‌آید (نجم و همکاران، ۲۰۰۲).

$$C_{ds} = \frac{Q_s}{a B \sqrt{2 g y_{up}} + B \frac{2}{3} \sqrt{\frac{2}{3}} g H_w^{1.5}} \quad (6)$$

شرایط جریان آزاد انجام شده و جریان ورودی محدوده فرود $6/0 < F_{up} < 1/1$ و رینولدز $62000 < Re_{up} < 30000$ را دربرگرفته است. به عبارت دیگر، جریان ورودی زیربحاری و آشفته بوده است. محدوده دبی مورد مطالعه ۱۲ - ۲۲ لیتر بر ثانیه بوده و دبی ورودی به فلوم با استفاده از یک دبی‌سنج مغناطیسی کالیبره شده با دقت ± 0.1 لیتر بر ثانیه، اندازه‌گیری شد. جریان مورد مطالعه دائمی و متغیر سریع در محدوده سازه استوانه‌ای است. برای کاهش تلاطم جریان ورودی به کanal، از صفحه آرام‌کننده‌ای که در ابتدای فلوم نصب شده، بهره گرفته شده است و سازه در وسطه‌ای کanal نصب شده است. عمق آب در بالادست سازه، ارتفاع آب روی سرریز و عمق آب در پایین‌دست توسط لمینیمتری با دقت ± 0.1 میلی‌متر برداشت شد. شکل ۲ مقطع کanal و سازه‌ای استوانه‌ای مورد بررسی شامل دریچه استوانه‌ای، سرریز استوانه‌ای و سرریز- دریچه استوانه‌ای را نمایش می‌دهد.



شکل ۲ (الف) دریچه استوانه‌ای، (ب) سرریز استوانه‌ای، (ج) سرریز دریچه استوانه‌ای

نتیجه جریان در سازه ترکیبی استوانه‌ای دبی عبوری از سرریز- دریچه به دو قسمت تقسیم می‌شود؛ بخشی از آن از زیر دریچه عبور می‌کند که معادله‌های دریچه بر آن حاکم است و بخش دوم که از

$$C_{ds} = f_2 \left(\frac{Q_s}{g^{0.5} D^{2.5}}, \frac{y_{up}}{D}, \frac{y_d}{D}, \frac{H_w}{D}, \frac{a}{D}, Re, We, Fr_{up}, Fr_w, Fr_g \right) \quad (9)$$

در این مطالعه به بررسی اثر پارامترهای (y_{up}/D) و ($y_{up} - y_d)/D$ بر ضریب دبی عبوری از سازه‌های دریچه استوانه‌ای، سرریز استوانه‌ای و سرریز-دریچه استوانه‌ای پرداخته شده است.

نتایج و بحث

پارامترهای مؤثر بر ضریب دبی مدل ترکیبی سازه سرریز-دریچه استوانه‌ای شامل قطر سازه (D), ارتفاع بازشدگی دریچه (α), ارتفاع آب روی سرریز در بالادست (H_w), عمق آب بالادست سازه (y_{up}) و عمق آب پایین‌دست (y_d) بوده که (H_w ، y_{up} و y_d) برای هر مدل در بی‌های مختلف اندازه‌گیری شده و با استفاده از معادله ۶ ضریب دبی سازه استوانه‌ای محاسبه شد. سپس پارامترهای بی‌بعد (y_{up}/D) و ($y_{up} - y_d)/D$) در برابر ضریب دبی سازه استوانه‌ای در میزان بازشدگی‌های مورد مطالعه، برای چهار قطر مورد بررسی قرار گرفتند.

شکل‌های ۴ تا ۶ رابطه بین ضریب دبی با نسبت عمق بالادست به قطر سازه را ضمن جایه‌جایی سازه در راستای عمود بر برای جریان در هر سازه از حالت سرریز استوانه‌ای به سرریز-دریچه استوانه‌ای و در نهایت رسیدن به دریچه استوانه‌ای برای بازشدگی‌ها و قطرهای مختلف در دبی ثابت نمایش می‌دهند. لازم به ذکر است که آزمایش‌ها در محدوده دبی ۱۲-۲۲ لیتر بر ثانیه انجام شده‌اند اما در این قسمت فقط شکل‌های مربوط به دبی‌های ۱۲، ۱۸ و ۲۲ لیتر بر ثانیه نمایش داده شده‌اند. شکل‌ها نشان می‌دهند، داده‌ها به سه ناحیه سرریز، سرریز-دریچه و دریچه استوانه‌ای تفکیک شده‌اند. دیده می‌شود که در هر چهار قطر سازه مورد بررسی با کاهش ارتفاع بازشدگی دریچه استوانه‌ای تغییرات ضریب دبی روندی افزایشی داشته، به گونه‌ای که بیشترین و کمترین ضریب دبی به ترتیب در سرریز استوانه‌ای در محدوده ۱/۲ تا ۱/۵ و دریچه استوانه‌ای در محدوده ۰/۴ تا ۰/۹۲ مشاهده شده است. به علاوه در دبی ثابت و ارتفاع بازشدگی دریچه ثابت با افزایش قطر سازه، ضریب دبی کاهش می‌یابد. این روند

که در آن Q_s دبی عبوری از سازه ترکیبی (m^3/s) است، که با کنتور حجمی اندازه‌گیری شده و مخرج کسر دبی در حالت ایده‌آل است، که با اندازه‌گیری پارامترهای آن مشخص می‌شود.

عامل‌های مؤثر بر جریان عبوری از سرریز و دریچه عبارتند از (شکل ۳):

$$f_0 \left(C_{ds}, Q_s, V_w, V_g, V_{up}, y_{up}, y_d, H_w, D, \delta, g, \sigma, \mu, \rho, S_0, B, a \right) = 0 \quad (7)$$

که در آن C_{ds} ضریب دبی عبوری از سازه ترکیبی، Q_s دبی کل عبوری از سازه (m^3/s), V_{up} سرعت جریان در بالادست سازه (m/s), V_w سرعت جریان زیر دریچه (m/s), y_{up} عمق آب در بالادست سازه (m), y_d عمق آب در پایین‌دست سازه (m), H_w ارتفاع سازه (m), δ اندازه فشردنی (m), g شتاب ثقل (m/s^2), σ کشش سطحی (N/m), μ لزjet دینامیکی سیال ($N.s/m^2$), ρ جرم مخصوص سیال (Kg/m^3), S_0 شیب کف در کanal اصلی، B عرض کanal اصلی (m) و α ارتفاع بازشدگی دریچه (m) است. با استفاده از آنالیز ابعادی گروه‌های بی‌بعد، مطابق معادله ۸ به دست آمدند.

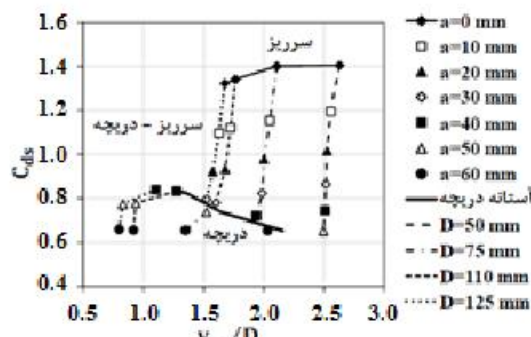
$$f_1 \left(\frac{Q_s}{g^{0.5} D^{2.5}}, \frac{y_{up}}{D}, \frac{y_d}{D}, \frac{H_w}{D}, \frac{\delta}{D}, \frac{a}{D}, \frac{B}{D}, \frac{\mu}{\rho g^{0.5} D^{1.5}}, \frac{\sigma}{\rho g D^2}, \frac{V_{up}}{g^{0.5} D^{0.5}}, \frac{V_w}{g^{0.5} D^{0.5}}, \frac{V_g}{g^{0.5} D^{0.5}}, S_0, C_{ds} \right) = 0 \quad (8)$$

با توجه به اینکه $\frac{V_w}{g^{0.5} D^{0.5}} = Fr_w$ ، $\frac{V_{up}}{g^{0.5} D^{0.5}} = Fr_{up}$

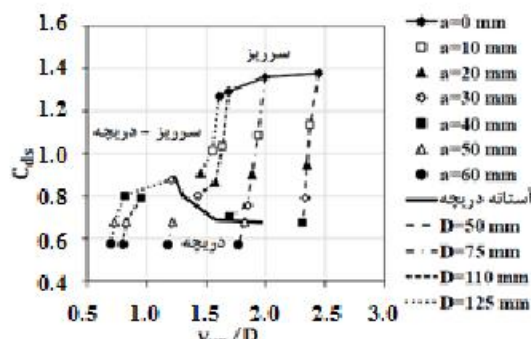
$$\text{و } \frac{\mu}{\rho g^{0.5} D^{1.5}} = \frac{1}{Re}, \quad \frac{V_g}{g^{0.5} D^{0.5}} = Fr_g$$

$\frac{\sigma}{\rho g D^2} = \frac{1}{We}$ و با صرف نظر از مقادیر δ ، S_0 و B به دلیل‌های، عدم وجود فشردنی، ثابت بودن مقادیر S_0 و B رابطه فوق به صورت زیر خلاصه می‌شود.

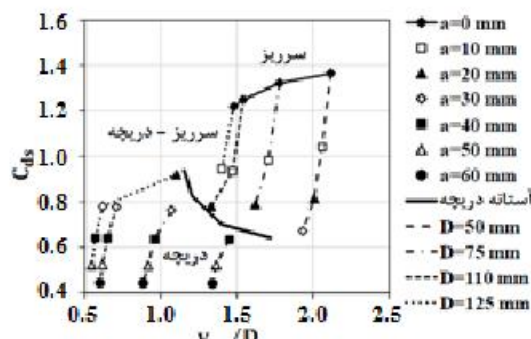
موردنیاز بالادست و درنتیجه کاهش پسزدگی آب پشت سرریز- دریچه و کاهش چشمگیر عمق آب در بالادست سازه می‌شود.



شکل ۴ ضریب دبی در برابر (y_{up}/D) در دبی ثابت ۲۲ لیتر بر ثانیه



شکل ۵ ضریب دبی در برابر (y_{up}/D) در دبی ثابت ۱۸ لیتر بر ثانیه

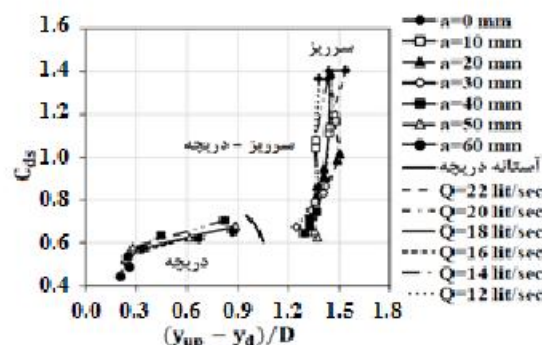


شکل ۶ ضریب دبی در برابر (y_{up}/D) در دبی ثابت ۱۲ لیتر بر ثانیه

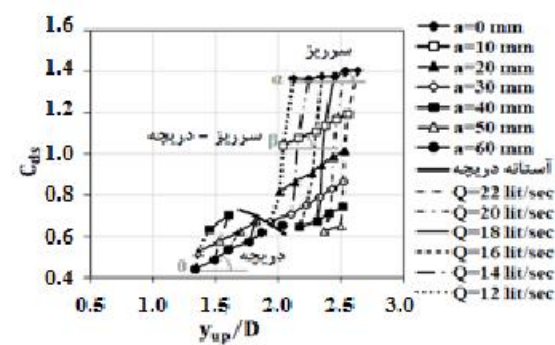
کاهشی ضریب دبی را می‌توان این گونه استدلال کرد که با افزایش قطر سازه تیغه جریان از روی سرریز به زیر دریچه کشیده می‌شود، که این پدیده در خلاف جهت جریان عبوری از دریچه است. بنابراین روی جریان عبوری از دریچه فشار مثبت ایجاد می‌شود و سبب کاهش ضریب دبی می‌شود.

همچنین شکل‌های ۷ تا ۱۰ تغییرات ضریب دبی در برابر نسبت عمق بالادست به قطر سازه و شکل‌های ۱۱ تا ۱۴ تغییرات ضریب دبی در برابر نسبت اختلاف عمق آب بالادست و پایین‌دست، به قطر سازه را در هر سازه از حالت سرریز استوانه‌ای به سرریز- دریچه استوانه‌ای و در نهایت رسیدن به دریچه استوانه‌ای برای بازشدگی‌ها و دبی‌های مختلف در قطربندی ثابت نشان می‌دهند. دیده می‌شود که با کاهش ارتفاع بازشدگی دریچه پارامترهای بی‌بعد y_{up}/D و $y_{up} - y_d)/D$ اندکی افزایش یافته، که این روند به دلیل افزایش میزان پسزدگی آب پشت سازه و افزایش عمق آب در بالادست سازه مورد ارتفاع بازشدگی دریچه ثابت در تمامی قطرهای مورد بررسی، با افزایش دبی مقدار پارامترهای بدون بعد $(y_{up} - y_d)/D$ و (y_{up}/D) افزایش یافته است. البته لازم به ذکر است که این روند افزایشی در سازه سرریز با شبکه کمتری نسبت به سرریز- دریچه و سرریز- دریچه، با شبکه کمتری نسبت به دریچه استوانه‌ای روی داده است (شکل ۷: $\alpha < \beta < \theta$) و این مسئله به این صورت قابل استدلال است که با افزایش عمق آب بالادست سازه ضریب دبی در حالت دریچه حاصل تقسیم دبی بر ضریبی در عمق آب به توان $1/5$ است؛ در حالیکه ضریب دبی در حالت سرریز، حاصل تقسیم دبی بر ضریبی در عمق آب به توان $1/5$ است. درنتیجه تغییرات ضریب دبی در حالت دریچه نسبت به سرریز بیشتر بوده و شبکه هم بیشتر خواهد بود.

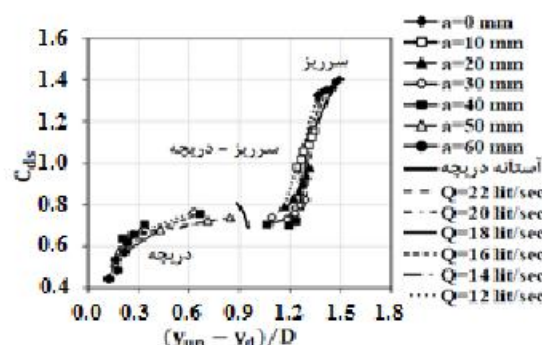
شکل‌های ۴ تا ۱۴ نشان می‌دهند در تمامی دبی‌ها و هر چهار قطر مورد بررسی با تبدیل سازه از سرریز- دریچه استوانه‌ای به دریچه استوانه‌ای منحنی‌های حاصل از ترسیم مقادیر C_{ds} در مقابل y_{up}/D و $(y_{up} - y_d)/D$ به سمت چپ جابه‌جا می‌شوند. این روند ناشی از کاهش میزان ضریب دبی عبوری است، که بیانگر افزایش ظرفیت عبور جریان و کاهش انرژی



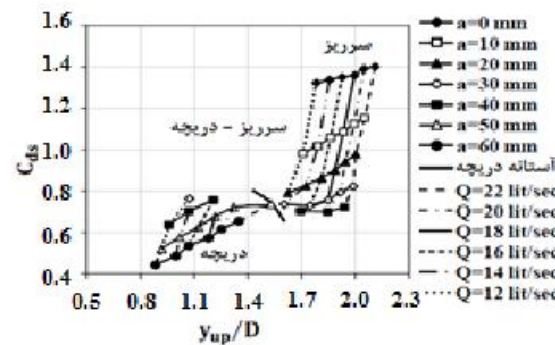
شکل ۱۱ تغییرات ضریب دیبی در برابر $(y_{up} - y_d)/D$ در برابر ضریب دیبی برای قطر ۵۰ میلی متر



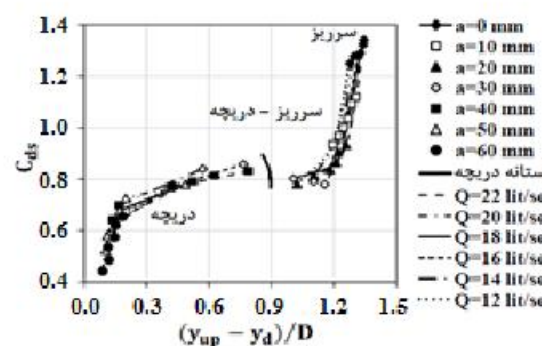
شکل ۷ تغییرات ضریب دیبی در برابر y_{up}/D برای سرربز با قطر ۵۰ میلی متر



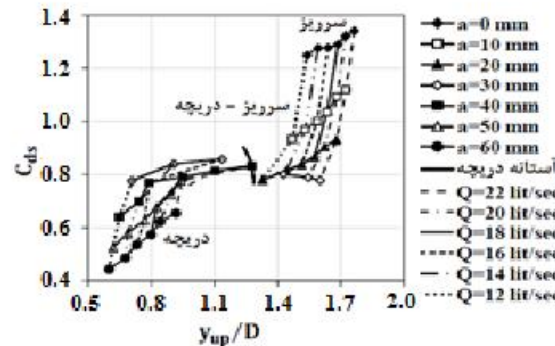
شکل ۱۲ تغییرات ضریب دیبی در برابر $(y_{up} - y_d)/D$ در برابر ضریب دیبی برای قطر ۷۵ میلی متر



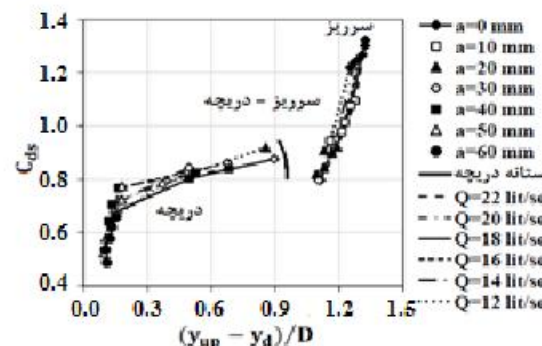
شکل ۸ تغییرات ضریب دیبی در برابر y_{up}/D برای سرربز با قطر ۷۵ میلی متر



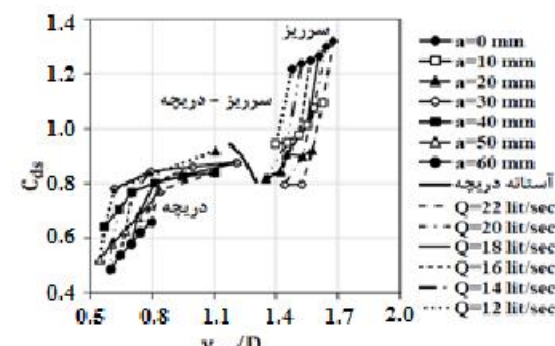
شکل ۱۳ تغییرات ضریب دیبی در برابر $(y_{up} - y_d)/D$ در برابر ضریب دیبی برای قطر ۱۱۰ میلی متر



شکل ۹ تغییرات ضریب دیبی در برابر y_{up}/D برای سرربز با قطر ۱۱۰ میلی متر



شکل ۱۴ تغییرات ضریب دیبی در برابر $(y_{up} - y_d)/D$ در برابر ضریب دیبی برای قطر ۱۲۵ میلی متر



شکل ۱۰ تغییرات ضریب دیبی در برابر y_{up}/D برای سرربز با قطر ۱۲۵ میلی متر

- انرژی موردنیاز بالادست و درنتیجه کاهش پسزدگی آب پشت سرریز- دریچه و کاهش چشمگیر عمق آب بالادست سازه می‌شود.
- تغییرات قطر سازه استوانه‌ای با تغییرات ضریب دبی رابطه عکس داشته است.
 - در سازه‌های سرریز استوانه‌ای، سرریز- دریچه استوانه‌ای و دریچه استوانه‌ای تغییرات پارامترهای بی بعد ($y_{up}/D - y_d/D$) و (y_{up}/D) رابطه مستقیم با تغییرات ضریب دبی دارد.
 - تغییرات پارامترهای بی بعد (y_{up}/D) و ($y_{up} - y_d/D$) با افزایش دبی روندی افزایشی داشته به طوری که این روند در سرریز استوانه‌ای با شبیب کمتری نسبت به دریچه استوانه‌ای انجام شده است.
 - معادلات استخراج شده برای برآورد ضریب دبی سازه‌های سرریز استوانه‌ای (معادله ۱۰)، سرریز- دریچه استوانه‌ای (معادله ۱۱) و دریچه استوانه‌ای (معادله ۱۲) در محدوده آزمایش‌های مورد مطالعه معتبر هستند.

منابع

- حسینی م. و ابریشمی ج. ۱۳۸۶. هیدرولیک کانال‌های باز، انتشارات آستان قدس رضوی، مشهد، دانشگاه امام رضا (ع). ویرایش دوم. ۴۴۳ ص.
- قره‌گزلو م. مسعودیان م. صالحی‌نیشابوری ع. ا. سوری ا. و نادری ف. ۱۳۹۰. بررسی آزمایشگاهی ضریب آبگذری مدل ترکیبی سرریز- دریچه استوانه‌ای در دبی‌های کم. مجموعه مقالات دهمین کنفرانس هیدرولیک ایران، دانشگاه گیلان، گیلان، ۱۷ الی ۱۹ آبان، ۶ ص.
- قره‌گزلو م. مسعودیان م. صالحی‌نیشابوری ع. ا. سوری ا. و نادری ف. ۱۳۹۱. مقایسه آزمایشگاهی هیدرولیک سرریز- دریچه استوانه‌ای و نیم استوانه‌ای. مجموعه مقالات نهمین کنفرانس بین‌المللی مهندسی عمران، دانشگاه صنعتی اصفهان، اصفهان، ۱۹ الی ۲۱ اردیبهشت. ۷ ص.
- قره‌گزلو م. ۱۳۹۱. بررسی آزمایشگاهی جریان همزمان از مدل ترکیبی سرریز- دریچه استوانه‌ای. پایان‌نامه کارشناسی ارشد سازه‌های آبی، دانشگاه علوم کشاورزی

استخراج معادلات تجربی

از طریق آنالیز داده‌ها با استفاده از نرمافزار SPSS رابطه‌های همبستگی بین ضریب دبی و شناسه‌های بی بعد حاصل از آنالیز ابعادی براساس رگرسیون غیرخطی چندگانه در قالب معادلات ۸، ۹ و ۱۰ به دست آمده است. معادله ۱۰ برای برآورد ضریب دبی سرریز استوانه‌ای در $SEE = 0.012 < Fr_{up} < 0.013$ و $0.012 < H_w/y_{up} < 0.014$ با $R^2 = 0.941$ معتبر است.

$$C_{dw} = 2.218 \left(\frac{y_{up}}{D} \right)^{-0.256} \left(\frac{H_w}{y_{up}} \right)^{0.438} \quad (10)$$

معادله ۱۱ برای برآورد ضریب دبی سازه سرریز- دریچه استوانه‌ای در محدوده $0.016 < y_{up}/D < 0.021$ ، $0.014 < H_w/y_{up} < 0.015$ و $0.012 < Fr_{up} < 0.013$ با $SEE = 0.026$ و $R^2 = 0.965$ معتبر است.

$$C_{ds} = 0.648 \left(\frac{y_{up}}{a} \right)^{0.211} \left(\frac{H_w}{D} \right)^{0.176} \quad (11)$$

معادله ۱۲ برای برآورد ضریب دبی دریچه استوانه‌ای در محدوده $0.016 < a/D < 0.021$ ، $0.014 < y_{up}/D < 0.015$ و $0.012 < Fr_{up} < 0.013$ با $SEE = 0.026$ و $R^2 = 0.931$ به دست آمده است.

$$C_{dg} = 0.464 \left(\frac{y_{up}}{D} \right)^{0.006} \left(\frac{y_{up}}{a} \right)^{0.563} \quad (12)$$

نتیجه‌گیری

نتایج این پژوهش حاکی از آن هستند که:

- در یک قطر ثابت و دبی ثابت، با افزایش ارتفاع بازشدنی دریچه تغییرات ضریب دبی با روندی کاهشی توأم بوده است، به گونه‌ای که بیشترین ضریب دبی در سرریز استوانه‌ای و کمترین ضریب دبی در دریچه استوانه‌ای مشاهده شده است.
- با تبدیل سازه از سرریز- دریچه استوانه‌ای به دریچه استوانه‌ای کاهش سریعی در مقادیر پارامترهای (y_{up}/D) و ($y_{up} - y_d/D$) مشاهده شده که این روند ناشی از کاهش میزان ضریب دبی عوری است، که بیانگر افزایش ظرفیت عبور جریان و کاهش

و منابع طبیعی ساری. ۸۴ ص.

5. Bos M. G. 1976. Discharge Measurement Structures. International Institute for Land Reclamation and Improvement/ ILRI, Wageningen, the Netherlands. 20(1):107- 126.
6. Chanson H. and Montes J. S. 1998. Over flow characteristics of Circular Weirs: Effects of inflow condition. Journal of Irrigation and Drainage Engineering. 32:152-161.
7. Ferro V. 2000. Simultaneous Flow Over and Under Gate. Journal of Irrigation and Drainage Engineering. 126(3):190-193.
8. Hayawi H. A. M. Yahia A. A. G. and Hayawi G. A. M. E. 2008. Free Combined Flow Over a Triangular Weir and Under Rectangular Gate. Damascus University Journal. 24(1):9-22.
9. Israelsen O. W. and Hansen V. E. 1962. Irrigation Principles and Practices. Third Edition, John Wiley and Sons Inc, New York. 447 p.
10. Negm A. A. M. 1997. Characteristics of Combined Flow over Weirs and Below Gates. Sudan Engineering Society Journal, January. 43(34):30-37.
11. Negm A. A. M. Al-Brahim A. M. and Alhamid A. A. 2002. Combined- Free Flow Over Weirs and Blew Gates. Journal of Hydraulic Research. 40(3):359-365.